УДК 62-529

# СРАВНИТЕЛЬНЫЙ АНАЛИЗ МЕТОДОВ ЦИГЛЕРА-НИКОЛЬСА, CHR И КОЭНА-КУНА ДЛЯ HACTPOЙКИ ПИД-РЕГУЛЯТОРА COMPARATIVE ANALYSIS OF ZIEGLER-NICHOLS, CHR AND COHEN-KUHN METHODS FOR PID CONTROLLER TUNING

В.А. Макогон, Национальный исследовательский университет «МИЭТ», г. Москва, г. Зеленоград

**Аннотация:** В данной работе сравниваются 3 метода настройки ПИД-регулятора: настройка с использованием Чина-Хронеса-Ресвика, настройка с использованием метода Циглера-Никольса и настройка с использованием метода Чина-Коэна-Куна. Целью работы является выявление наиболее оптимального метода настройки с наименьшим перерегулированием.

**Ключевые слова:** ПИД-регулятор, автоматизация, метод Коэна-Куна, метод Циглера-Никольса, метод Чина-Хронеса-Ресвика, метод СНР, коллекторный эдектродвигатель, датчик.

**Abstract**: In this work, 3 methods of tuning the PID controller are used: tuning using the Chin-Hrones-Reswick method, tuning using the Ziegler-Nichols method and tuning using the Chin-Cohen-Kuhn method. The goal of the work is to identify the most optimal tuning method with the least overshoot.

**Keywords:** PID controller, automation, Cohen-Kuhn method, Ziegler-Nichols method, Chin-Hrones-Resvik method, CHR method, commutator electric motor, sensor.

Электродвигатели и приводы играют ключевую роль в современной технике, обеспечивая вращательное движение при подаче напряжения. Благодаря механизмам преобразования вращения в поступательное движение, становятся возможны системы с управляемым перемещением объекта вдоль одной оси.

Для точного контроля таких систем используется датчик положения, регулирующий скорость двигателя. Высокая точность исполнения необходима во многих приложениях, связанных с этой установкой, поэтому в подобных устройствах широко применяется ПИД-регулятор — алгоритм, обеспечивающий стабильность и минимизацию отклонений за счёт пропорциональной, интегральной и дифференциальной составляющих.

# Общая информация.

ПИД-регулятор — это алгоритм, который управляет системой, минимизируя её отклонение от заданного значения. Он работает на основе

ошибки, вычисляемой как разница между текущим выходным значением системы ( $e_{\text{тек}}$ ) и целевым значением ( $e_{\text{vcr}}$ ):

$$e(t) = e_{ycr} - e_{rek}$$

Когда ошибка вычислена, она проходит через три звена: **пропорциональное (Р)**, **интегральное (I)** и дифференциальное (D).

**Пропорциональное (Р) звено** реагирует на текущую ошибку, обеспечивая быструю реакцию системы. Его передаточная функция зависит от коэффициента  $K_p$ . Однако этот компонент не устраняет статическую ошибку. П-звено имеет следующее уравнение:

$$u_p(t) = K_p e(t)$$

**Интегральное** (I) звено учитывает накопленную ошибку, что позволяет системе в установившемся режиме достичь нулевого отклонения. Влияние интегратора определяется коэффициентом  $K_i$ , но его чрезмерное увеличение может замедлить реакцию и вызвать перерегулирование. И-звено имеет следующее уравнение:

$$u_i(t) = K_i \int_{0}^{t} e(t) dt$$

**Дифференциальное** (**D**) звено реагирует на скорость изменения ошибки, снижая колебания и ускоряя стабилизацию системы. Его влияние определяется коэффициентом  $K_d$ , но слишком высокая дифференциальная составляющая может сделать систему чувствительной к шумам и вызвать нестабильность. Д-звено имеет следующее уравнение:

$$u_d(t) = K_d \frac{de}{dt}$$

Сложив все три звена, получаем итоговую функцию ПИД-регулятора, определяющую реакцию системы на ошибку во времени по уравнению:

$$u(t) = K_p e(t) + K_i \int_0^t e(t) dt + K_d \frac{de}{dt}$$

Правильный подбор коэффициентов  $K_p$ ,  $K_i$ ,  $K_d$  критически важен для стабильной и точной работы системы. Завышенные значения могут привести к колебаниям и нестабильности, заниженные — к медленной реакции и остаточной ошибке. Оптимальная настройка позволяет достичь точности, устойчивости и быстрого переходного процесса без лишних отклонений. Для случаев, где метод не позволяет найти  $K_i$  и  $K_d$  напрямую, а только лишь  $T_i$  и  $T_d$  будем считать, что:

$$K_i = 1/T_i$$
,  $K_d = T_d$ .

Вручную настраивать коэффициенты очень сложно и времязатратно, поэтому был разработан ряд методов для их вычисления. Самыми популярными из них являются метод Циглера-Никольса, метод Чина-Хронеса-Ресвика, или СНК, и метод Коэна-Куна. Рассмотрим каждый из них на примере апериодического звена 1-го порядка с запаздыванием,

которыми может быть приближённо смоделировано большое число промышленных объектов [1]:

$$W(p) = \frac{Ke^{-Lp}}{Tp+1}$$

Где K – коэффициент передачи системы (усиление), показывающий установившееся значение выходного сигнала,

**Т** — постоянная времени системы, характеризующая скорость её реакции на изменения входного сигнала,

L — время запаздывания системы

Во многих уравнениях методов встречается коэффициент а. Найти его можно, проведя касательную, как показано на рис. 1.

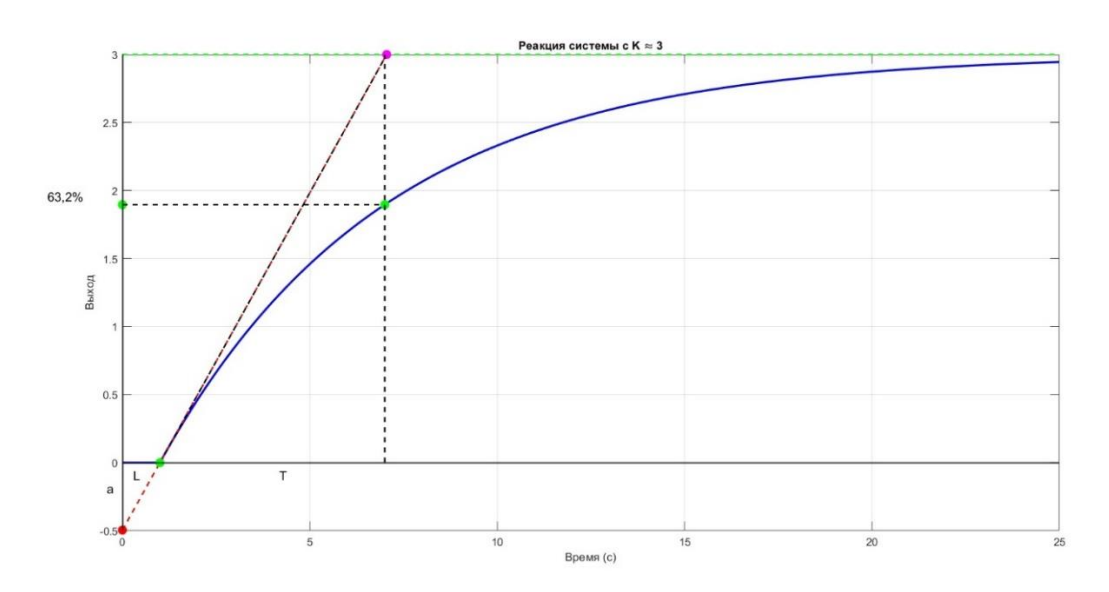


Рис. 1. График реакции системы на входной сигнал.

Для эксперимента были взяты следующие значения коэффициентов:  $K=3,\,L=1,\,T=6.$ 

## Метод Циглера-Никольса.

Метод Циглера-Никольса — эмпирический способ настройки ПИД-регулятора, применимый для устойчивых систем [2]. Он позволяет определить оптимальные параметры регулятора на основе переходной характеристики или предельного цикла при увеличении коэффициента усиления. Метод широко используется в промышленности благодаря простоте и универсальности, однако часто приводит к повышенному перерегулированию и требует дополнительной корректировки. В соответствии с этим методов коэффициенты  $K_p$ ,  $K_i$  и  $K_d$  имеют следующие уравнения:

$$K_p = \frac{1.2}{a}, T_i = \frac{0.9L}{K_p}, T_d = \frac{0.5L}{K_p}$$
 [1]

26 марта 2025 г.

Подставив значения, полученные с рис.1, получаем:

$$K_p = 2.420$$
,  $T_i = 0.372$ ,  $T_d = 0.207$ 

На рис. 2. Представлен результат работы системы с ПИДрегулятором, имеющим такие значения параметров, вычисленные с помощью формул [1].

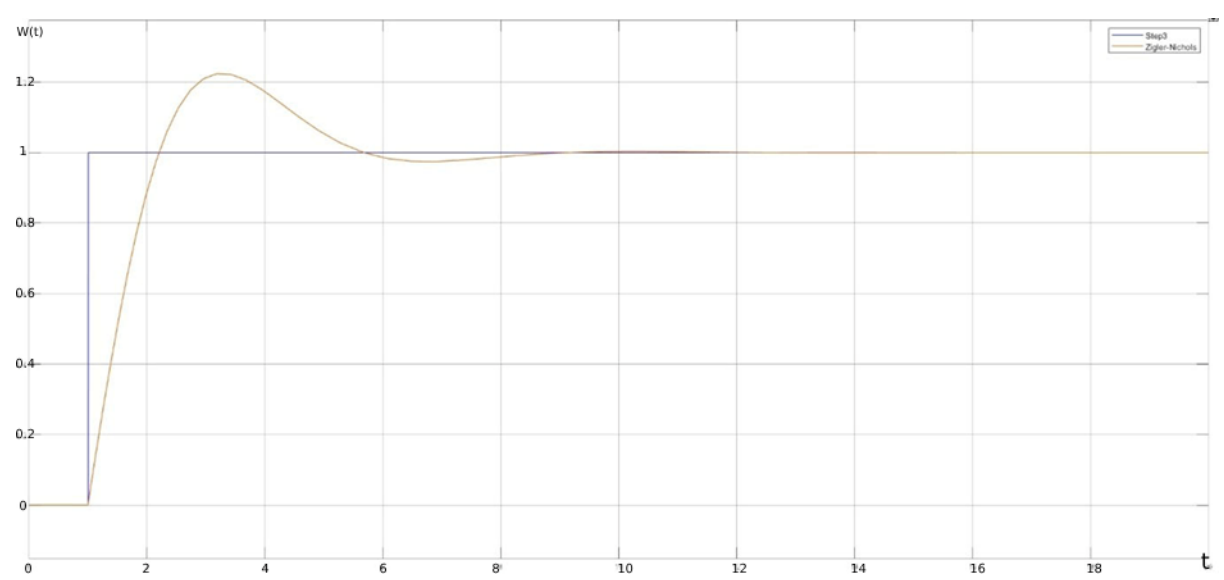


Рис. 2. Результат работы системы с ПИД-регулятором, имеющим значения, полученные с применением метода Зиглера-Никольса.

#### Метод CHR.

Метод Чина-Хронеса-Ресвика, предложенный в 1952 году, служит альтернативой методу Циглера-Никольса [3]. Его основное преимущество заключается в том, что для настройки регулятора нет необходимости знать точную математическую модель управляемой системы. В отличие от метода Циглера-Никольса, данный подход считается более безопасным, поскольку не требует доведения системы до предела устойчивости.

Процесс настройки параметров регулятора во многом схож с методом Циглера-Никольса: сначала строится переходная характеристика разомкнутой системы. Затем на графике определяется точка перегиба, через которую проводится касательная. Эта линия пересекает как горизонтальную ось, так и уровень установившегося значения, как это показано на рисунке 1. Для расчета коэффициентов регулятора используются специальные формулы [4], характерные для этого метода:

$$K_p = \frac{0.6T}{KL}$$
,  $T_i = 2.4L$ ,  $T_d = 0.42L$  [2]

Подставив заданные для системы значения в эти формулы, получим следующие значения:

$$K_p = 1.2$$
,  $T_i = 0.417$ ,  $T_d = 0.420$ .

Подставив значения, полученные из формул [2], получаем график реакции системы, представленный на рис. 3.

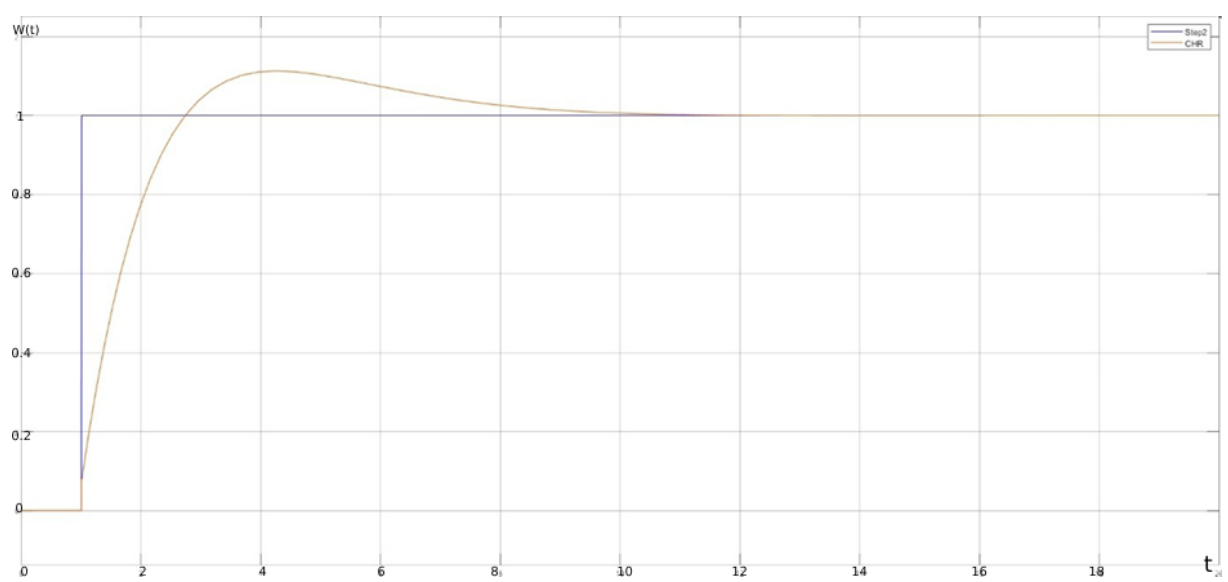


Рис. 3. Результат работы системы с ПИД-регулятором, имеющим значения, полученные с применением метода CHR.

## Метод Коэна-Куна.

В методе Коэна-Куна для настройки ПИД-регулятора задаются три полюса обратной связи: два комплексных и один вещественный, расположенные на одинаковом расстоянии от начала координат. Полюса выбираются так, чтобы обеспечить декремент затухания d=4, а их расположение корректируется для минимизации интеграла ошибки [5]. Джон Г. Коэном и Генрих Ф. Куном был проведён ряд дополнительных исследований на основе одной и той же модели и ими был предложен новый набор формул, связанный с отношением  $\tau$ =L/T [6]. Формулы расчёта коэффициентов регулятора основаны на аналитических и численных методах и представлены ниже:

$$K_p = KL\left(\frac{3}{4} + \frac{L}{4T}\right), T_i = L\left(\frac{32 + \frac{6L}{T}}{13 + \frac{8L}{T}}\right), T_d = \frac{L}{11 + \frac{2L}{T}}$$
 [3]

Подставив заданные для системы значения в эти формулы, получим следующие коэффициенты:

$$K_p = 4.125$$
,  $T_i = 2.302$ ,  $T_d = 0.529$ 

График реакции системы с ПИД-регулятором, имеющим коэффициенты, полученные с использованием метода-Коэна-Куна, представлен на рис.4.

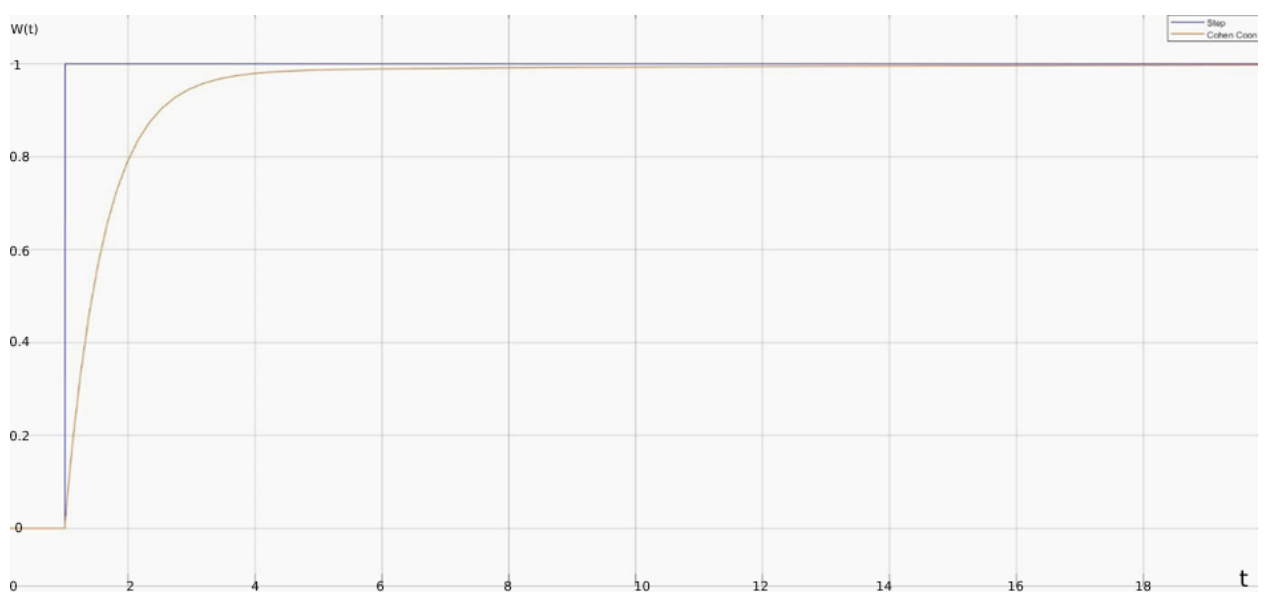


Рис. 4. Результат работы системы с ПИД-регулятором, имеющим значения, полученные с применением метода Коэна-Куна.

## Сравнение методов.

Для выявления наиболее оптимального метода из представленных, на рис. 5 были объединены и сопоставлены реакции всех трёх систем с ПИД-регуляторами, настроенными по всем трём методам. Проанализировав результаты, можно прийти к следующим выводам относительно каждой из систем:

- Метод Циглера-Никольса даёт неудовлетворительные результаты ввиду большого перерегулирования. Тем не менее, метод даёт наибольшую скорость реагирования системы;
- Метод CHR даёт меньший показатель перерегулирования, чем метод Циглера-Никольса, а также быстрее достигает значения K, для компенсации перерегулирования необходима дополнительная настройка;
- Метод Коэна-Куна значения даёт c минимальным перерегулированием наиболее И является оптимальным среди представленных трёх, однако ввиду очень длительного времени достижения точного значения К требуется дополнительная настройка Дзвена.

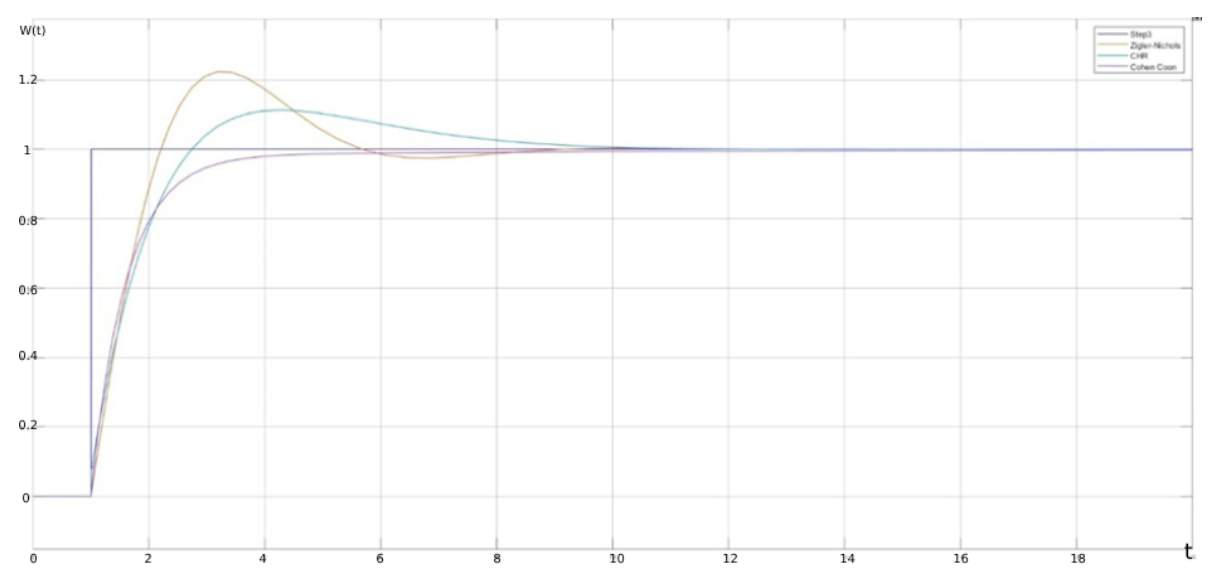


Рис. 5. Сравнение результатов работы систем с ПИД-регуляторами, имеющими значения, полученные с применением трёх методов.

Сравнив все 3 графика, можно прийти к выводу, что метод Коэна-Куна обеспечивает наименьшее перерегулирование, тогда как метод CHR имеет большие колебания, но сходится к К быстрее.

Метод Коэна-Куна можно считать наиболее оптимальным среди всех трёх, однако для увеличения скорости схождения к значению K требуется дополнительная ручная настройка.

# Список литературы

- 1. Баканов М. В. Исследование модального способа построения Simulink-моделей ПИД-регуляторов для динамических систем первого порядка с транспортным запаздыванием / Баканов М.В., Данеев А.В, Сизых В.Н. Текст: непосредственный // Известия Самарского научного центра российской академии наук. 2022. №2. Т. 24 С. 90-96.
- 2. А. С. Востриков Основы теории непрерывных и дискретных систем регулирования / А. С. Востриков, Г. А. Французова, Е. Б. Гаврилов. Текст: непосредственный // Новосибирский государственный технический университет. 2008. 294 С.
- 3. Н.П. Сухарькова Анализ методов определения настроечных параметров ПИД-регулятора для энергетической системы / Н.П. Сухарькова, Т.А. Григорьева. Текст: непосредственный // Труды Братского государственного университета. 2024. Т. 1. С. 56-60.
- 4. F. Owen Control Systems Engineering A Practical Approach / F. Owen. Текст: непосредственный // California Polytechnic State University. 2013.
- 5. Д. М. Гамков Настройка пропорционально-интегрально-дифференциальных регуляторов системы обеспечения тепловым режимом астрофизического телескопа ART-XC обсерватории «Спектр-РГ» /

- Д.М. Гамков, М. В. Бунтов. Текст: непосредственный // XIV конференция молодых учёных "Фундаментальные и прикладные космические исследования". 2017. С. 5-24.
- 6. Ш.М. Назармаматов Исследование оптимальных методов настройки параметров для ПИД-регуляторов / Ш.М. Назарматов, К.К. Абдулрахим. Текст: непосредственный // ОБЩЕСТВО. 2023. №2. 24-29.